

آشکارسازی گرد و غبار در حوضه آبریز جازموریان با استفاده از تکنیک‌های چندطیفی در تصاویر سنجنده مادیس

فرزانه قادری نسب- دانشجوی دکتری سازه‌های آبی دانشگاه شهید باهنر کرمان
محمدیاقر رهمنا*- دانشیار یخش مهندسی آب دانشگاه شهید باهنر کرمان

تاریخ پذیرش: ۱۳۹۷/۳/۶ تاریخ دریافت: ۱۳۹۶/۹/۲۸

حکمده

یکی از چالش‌های مهمی که اخیراً گیریان گیر مردم استان‌های کرمان و سیستان و بلوچستان شده ظهور گرد و غبار است. خشکشدن تالاب‌فصلی جازموریان کانون تولید گرد و غبار در جنوب‌شرق کشور معروفی شده است. در این مطالعه قابلیت آشکارسازی گرد و غبار توسط شاخص‌های ارائه شده در مدل‌های جهانی بر روی تصاویر سنجنده مادیس در دو ماهواره ترا و آکوا طی سال‌های ۲۰۰۳ تا ۲۰۱۷ پایش شد. بدین منظور، حد آستانه ارائه شده توسط محققان در شاخص‌های مورد مطالعه بومی‌سازی شد. برای بررسی صحت عملکرد روش‌های مورد مطالعه، الگوریتم‌های مورد استفاده بر روی تصاویر ۰۴//۱۰/۰۱ تا ۰۱/۰۷/۲۰۱۷ مادیس اجرا شد. برای ارزیابی کارایی روش‌ها از دید افقی اندازه گیری شده در ایستگاه سینوپتیک و محصول عمق نوری سنجنده مادیس استفاده شد. نتایج نشان داد الگوریتم‌های مورد مطالعه عملکرد مناسبی در شناسایی پیکسل‌های آلوود به گرد و غبار دارند. همچنین، برای تحلیل مسیر انتقال گرد و غبار از مدل Hysplit استفاده شد. در نتیجه اجرای مدل Hysplit در سه کانون آشکارشده با الگوریتم‌های مورد بررسی، مشخص شد ذرات گرد و غبار سواحل دریای عمان (آبهای مکران)، دریای عمان، و حاشیه خلیج فارس را تحت تأثیر قرار می‌دهند که با نتایج محققان پیشین همخوانی دارد.

AOD TIIDI کلیدواژگان: آشکارسازی گرد و غیار، تالاب حازم‌بیان، گرد و غیار، روش

٦٩

مناطق خشک و نیمه‌خشک از منابع اصلی ذرات گرد و غبار معلق در هوا هستند (هانگ و همکاران، ۱۴: ۲۰۱۴؛ سوینا، ۱۴: ۲۰۸۶؛ پندا-مارتینز و همکاران، ۱۱: ۴۶۵۹). سازمان هواسنایی جهانی، بر اساس محدودیت در میدان دید، وقایع گرد و غبار را در سه دسته شامل غبار در حال وزیدن^۱ (میدان دید بین ۱ تا ۱۰ کیلومتر)، طوفان غبار^۲ (میدان دید بین ۲۰۰ تا ۱۰۰۰ متر)، و طوفان غبار شدید^۳ (میدان دید کمتر از ۲۰۰ متر) تقسیم‌بندی کرده است (شاو و دانگ، ۶: ۲۰۰۰).

ذرات گرد و غبار معلق در هوا با جذب و پراکنش تابش خورشیدی به طور مستقیم بر روی تعادل تابش در جو زمین تأثیر می‌گذارند (هانگ و همکاران، ۹: ۲۰۰۹؛ فو و همکاران، ۹: ۱۶۴۸؛ ژانگ، ۱۰: ۴۲۸۴؛ ژاو، ۱۳: ۲۰۱۳). این ذارت، که جاذب نورند، با جذب تابش خورشیدی ساختار گرمایش تابشی جو را تغییر می‌دهند، تبخیر قطرات ریز ابر را سرعت می‌بخشدند، و به طور نیمه‌مستقیم آب و هوا را تحت تأثیر قرار می‌دهند (هانگ و همکاران، ۱۴: ۲۰۱۴). آن‌ها همچنین

اثرهای زیادی در آب و هوا، کیفیت هوا، چرخه هیدرولوژیکی، و اکوسیستم ایجاد می‌کنند (زاو و همکاران، ۲۰۱۰: ۲۳۴۸). منظور از شناسایی گرد و غبار با استفاده از اندازه‌گیری ماهواره‌ای یعنی شناسایی پیکسل‌هایی از تصویر که در اثر آلودگی به ذرات گرد و غبار رفتار بازتابندگی، جذب، و پراکنش آن‌ها در طول موج‌های مختلف یک سنجنده تحت تأثیر قرار گرفته است. به واسطهٔ بازتابش مشابه ذرات موجود در طوفان‌های گرد و غبار با ذرات موجود در ابر، سطوح زمین‌های خشک، تپه‌های ماسه‌ای، و مناطق بیابانی، بدینهی است به کارگیری سنجش از دور مشکلات خاص خود را داشته باشد. از این‌رو، محققان با بررسی باندهای مختلف سعی کرده‌اند بر این مشکل فائق آیند (آکرمن، ۱۹۸۹: ۱۳۰؛ میلر، ۲۰۰۳: ۱۲۳). اختلاف بین بازتابش سطح و بازتابش دریافت‌شده توسط سنجنده، اساس استخراج اطلاعات از آئروسل‌هاست و بر اساس همین اختلاف عمق نوری آئروسل حاصل می‌شود (هافمن و تنره، ۱۹۹۸: ۶۱؛ هافمن و همکاران، ۱۹۹۷: ۱۶۸۱۸). با استفاده از عمق نوری هواویز می‌توان اطلاعات زیادی در مورد گرد و غبار به دست آورد (مولین و همکاران، ۱۹۹۸: ۱۳۱۴۲).

با توجه به اثر ذرات معلق در طول موج‌های مختلف، استفاده از تصاویر ماهواره‌ای MODIS، که در طول موج‌های مختلف قادر به جمع‌آوری اطلاعات‌اند، بسیار کارآمد است (شمیری و همکاران، ۱۳۹۳: ۳۰). آکرمن (۱۹۸۹) از باندهای ۳.۷ و ۱۱ میکرومتر در ردیابی مسیر گرد و غبار استفاده کرد. میلر (۲۰۰۳: ۱۲-۱) با ترکیب باندهای مرئی مادون قرمز میانی و نزدیک روشنی برای تشخیص سطوح گرد و غبار ارائه کرد. لی و همکاران (۲۰۱۰: ۱) به منظور پایش طوفان گرد و غبار در استرالیا از تصاویر ماهواره‌ای استفاده کردند و از طریق محاسبات اختلاف درجه حرارت روشنایی دو باند حرارتی مادون قرمز موفق به جدا کردن گرد و غبار از ابرها شدند. عطاوی و همکاران (۱۳۹۴: الف: ۱) با روش درخت تصمیم‌گیری و با استفاده از تصاویر سنجنده مادیس گرد و غبار را در استان‌های ایلام طی سال‌های ۱۳۸۴ تا ۱۳۹۱ بررسی کردند. همچنین، عطاوی و همکاران (۱۳۹۴: ب: ۱) با بومی‌سازی شاخص TIIDI در استان‌های ایلام و خوزستان شدت گرد و غبار را تخمین زدند.

یکی از چالش‌های بسیار مهمی که اخیراً گربیان‌گیر مردم استان‌های کرمان و سیستان و بلوچستان شده ظهر گرد و غبار است. این در حالی است که خشکشدن تالاب فصلی جازموریان کانون تولید گرد و غبار در جنوب‌شرق کشور معروفی شده است (راشکی و همکاران، ۲۰۱۷: ۱۵۵).

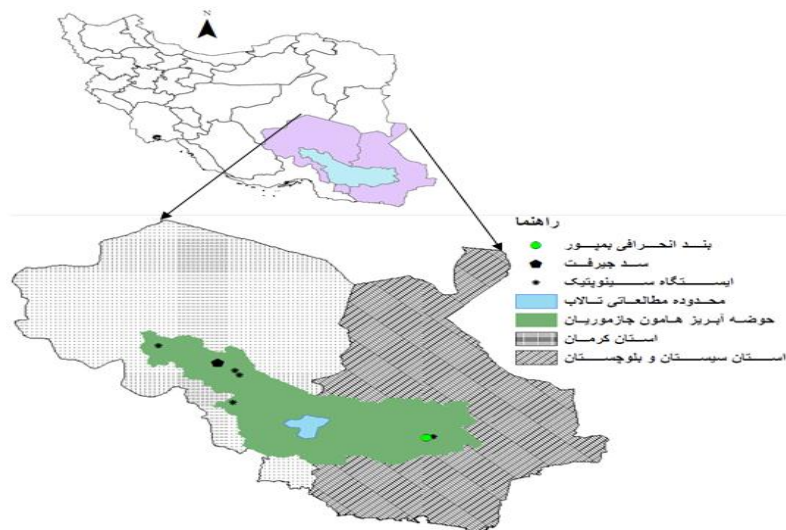
این مطالعه، با هدف شناسایی گرد و غبار بر روی تالاب فصلی هامون جازموریان و حوضه آبریز آن و بررسی کارابی سه روش ارائه شده توسط زی (۲۰۰۹: ۵۱) و روش ژاو و همکاران (۲۰۱۰: ۱) و روش TIIDI (لیو و لیو، ۲۰۱۱: ۱) با استفاده از تصاویر سنجنده مادیس بر روی دو ماهواره آکوا و ترا انجام شده است. همچنین، عملکرد روش‌ها بررسی شده و ردیابی مسیر حرکت گرد و غبار نیز بررسی شده است.

مواد و روش‌ها

منطقه مورد مطالعه

تالاب فصلی جازموریان، دریاچه‌ای فصلی با حوضه آبریز بسته، در جنوب‌شرق ایران واقع شده است. رشد جمعیت، استفاده بیش از حد از منابع آب زیرزمینی، احداث سد بر روی رودخانه‌های ورودی به تالاب، تغییر اقلیم، و خشکسالی سبب خشکشدن این تالاب شده است. منطقه تالابی جازموریان در موقعیت جغرافیایی $39^{\circ} ۵۸' \text{ تا } ۱۴^{\circ} ۵۹'$ طول شرقی و $۲۷^{\circ} ۲۷' \text{ تا } ۳۸^{\circ} ۲۷'$ عرض شمالی با وسعت حدود ۳۰۰۰ کیلومتر مربع بین استان‌های سیستان و بلوچستان و کرمان واقع شده است (اداره کل حفاظت محیط زیست استان سیستان و بلوچستان، ۱۳۹۳: ۸۳). حوضه آبریز هامون جازموریان

با وسعتی حدود ۶۹۳۹۰ کیلومتر مربع یکی از حوضه‌های آبریز درجه ۲ کشور است (مصطفی‌خانی، ۱۳۹۲: ۱). بخش‌هایی از این حوضه آبریز از غرب استان سیستان و بلوچستان و از شرق و جنوب‌شرق استان کرمان را می‌پوشاند. سد مخزنی جیرفت بزرگ‌ترین سد مخزنی جنوب‌شرق کشور و بند انحرافی بمپور در سرشاخه‌های این حوضه آبریز قرار دارد. شکل ۱ موقعیت تالاب جازموریان و حوضه آبریز هامون جازموریان را نشان می‌دهد.



شکل ۱. موقعیت تالاب فصلی جازموریان و حوضه آبریز آن در کشور ایران

داده‌های مورد استفاده

داده‌های زمینی

دید افقی تنها داده زمینی موجود در منطقه مورد مطالعه است که می‌توان برای پایش گرد و غبار استفاده کرد. شکل ۱ موقعیت ایستگاه‌های سینوپتیک موجود در حوضه آبریز جازموریان را نشان می‌دهد. نزدیک‌ترین ایستگاه‌های سینوپتیک به تالاب جازموریان در استان کرمان، ایستگاه سینوپتیک که‌توج است که حدود ۱۲۵ کیلومتر با منطقه فاصله دارد. این در حالی است که ایستگاه سینوپتیک بعدی، که کمترین مسافت را دارد، ایستگاه سینوپتیک ایرانشهر با حدود ۱۸۰ کیلومتر فاصله نسبت به تالاب جازموریان است.

داده‌های ماهواره‌ای

در این مطالعه از دو دسته داده استفاده شده است: داده‌های سطح اول^۱ شامل داده‌های انعکاس^۲ و تابش^۳ مربوط به باندهای مختلف سنجنده مادیس می‌باشند. داده‌های انعکاسی و تابشی سنجنده مادیس در ۳۶ باند طیفی برای نمایش تصویر ارائه می‌شوند. تصاویر مورد استفاده در این مطالعه، از تصاویر موجود سنجنده مادیس بر روی دو ماهواره آکوا^۴ و ترا^۵ طی سال‌های ۲۰۰۳ تا ۲۰۱۷ اخذ شده است. جدول ۱ لیست تصاویر پردازش شده و مورد استفاده در این مطالعه را نشان می‌دهد. جدول ۱ لیست تصاویر مورد پردازش در این مطالعه را نشان می‌دهد.

1. Level 1
2. Reflectance
3. Radiance
4. Aqua
5. Terra

جدول ۱. لیست تصاویر پردازش شده و مورد بررسی در مطالعه حاضر

سکو	سال	روز									
ترا	۲۰۰۱	۱۶۲	ترا	۲۰۱۱	۱۴۰	ترا	۲۰۱۵	۹۹	آکوا	۲۰۱۶	۵۱
ترا	۲۰۰۲	۱۹	آکوا	۲۰۱۱	۱۴۱	آکوا	۲۰۱۵	۹۹	ترا	۲۰۱۶	۷۱
ترا	۲۰۰۲	۳۶	ترا	۲۰۱۱	۱۴۷	ترا	۲۰۱۵	۱۰۳	آکوا	۲۰۱۶	۷۱
ترا	۲۰۰۳	۲	ترا	۲۰۱۱	۱۵۶	ترا	۲۰۱۵	۱۰۴	ترا	۲۰۱۶	۷۹
ترا	۲۰۰۳	۳۶	ترا	۲۰۱۱	۲۲۷	آکوا	۲۰۱۵	۱۰۴	ترا	۲۰۱۶	۸۰
آکوا	۲۰۰۳	۱۲۸	آکوا	۲۰۱۱	۲۳۷	ترا	۲۰۱۵	۱۰۵	ترا	۲۰۱۶	۸۰
ترا	۲۰۰۲	۳۲	آکوا	۲۰۱۱	۲۴۰	ترا	۲۰۱۵	۱۲۱	ترا	۲۰۱۶	۸۴
آکوا	۲۰۰۳	۱۴۹	ترا	۲۰۱۱	۲۴۷	آکوا	۲۰۱۵	۱۲۱	آکوا	۲۰۱۶	۸۴
آکوا	۲۰۰۳	۱۵۰	آکوا	۲۰۱۲	۶۳	ترا	۲۰۱۵	۱۲۲	آکوا	۲۰۱۶	۸۶
ترا	۲۰۰۳	۱۵۰	آکوا	۲۰۱۲	۶۳	آکوا	۲۰۱۵	۱۲۲	ترا	۲۰۱۶	۱۰۳
آکوا	۲۰۰۳	۱۵۴	ترا	۲۰۱۲	۸۰	آکوا	۲۰۱۵	۱۵۹	ترا	۲۰۱۶	۱۰۷
آکوا	۲۰۰۴	۳۴	ترا	۲۰۱۲	۸۱	آکوا	۲۰۱۵	۱۵۹	آکوا	۲۰۱۶	۱۰۷
آکوا	۲۰۰۴	۳۵	ترا	۲۰۱۲	۹۹	ترا	۲۰۱۵	۱۶۱	ترا	۲۰۱۶	۷۰۸
آکوا	۲۰۰۴	۳۷	ترا	۲۰۱۲	۱۰۰	ترا	۲۰۱۵	۱۶۳	آکوا	۲۰۱۶	۱۰۸
ترا	۲۰۰۴	۳۹	آکوا	۲۰۱۲	۱۵۵	ترا	۲۰۱۵	۱۶۹	ترا	۲۰۱۶	۱۰۹
ترا	۲۰۰۴	۴۰	ترا	۲۰۱۲	۱۵۵	ترا	۲۰۱۵	۱۷۰	آکوا	۲۰۱۶	۱۰۹
آکوا	۲۰۰۴	۷۵	ترا	۲۰۱۲	۱۵۶	آکوا	۲۰۱۵	۱۷۳	ترا	۲۰۱۶	۱۷۵
ترا	۲۰۰۴	۷۵	آکوا	۲۰۱۲	۱۵۶	ترا	۲۰۱۵	۱۷۴	آکوا	۲۰۱۶	۱۷۶
۱۷۸	۲۰۰۴	۸۱	ترا	۲۰۱۲	۱۵۶	آکوا	۲۰۱۵	۱۷۵	ترا	۲۰۱۶	۱۷۸
آکوا	۲۰۰۴	۸۲	ترا	۲۰۱۲	۱۵۷	ترا	۲۰۱۵	۱۷۶	ترا	۲۰۱۶	۲۰۳
ترا	۲۰۰۴	۱۲۷	آکوا	۲۰۱۶	۲۰۰	آکوا	۲۰۱۵	۱۷۶	آکوا	۲۰۱۶	۲۰۳
ترا	۲۰۰۴	۱۳۵	آکوا	۲۰۱۲	۱۵۷	ترا	۲۰۱۵	۱۷۷	ترا	۲۰۱۶	۲۰۴
آکوا	۲۰۰۴	۱۵۶	ترا	۲۰۱۲	۱۵۷	آکوا	۲۰۱۵	۱۷۷	ترا	۲۰۱۶	۲۰۴
ترا	۲۰۰۵	۲۰۳	ترا	۲۰۱۲	۱۷۱	ترا	۲۰۱۵	۱۷۸	ترا	۲۰۱۶	۲۰۵
ترا	۲۰۰۶	۲۱۵	آکوا	۲۰۱۲	۱۷۳	آکوا	۲۰۱۵	۱۷۸	ترا	۲۰۱۶	۲۰۶
ترا	۲۰۰۶	۲۱۹	آکوا	۲۰۱۲	۱۷۳	ترا	۲۰۱۵	۱۷۹	ترا	۲۰۱۶	۲۰۶
ترا	۲۰۰۷	۱۵۱	ترا	۲۰۱۲	۱۷۴	آکوا	۲۰۱۵	۱۷۹	ترا	۲۰۱۶	۲۰۷
ترا	۲۰۰۷	۱۷۶	آکوا	۲۰۱۲	۲۰۵	ترا	۲۰۱۵	۱۸۰	ترا	۲۰۱۶	۲۰۹
ترا	۲۰۰۷	۲۰۷	آکوا	۲۰۱۲	۲۰۶	آکوا	۲۰۱۵	۱۸۰	آکوا	۲۰۱۶	۲۱۰
ترا	۲۰۰۷	۲۱۲	آکوا	۲۰۱۲	۲۵۲	آکوا	۲۰۱۵	۱۹۱	ترا	۲۰۱۶	۲۱۲
ترا	۲۰۰۸	۵۲	ترا	۲۰۱۳	۱۲	آکوا	۲۰۱۵	۱۹۳	آکوا	۲۰۱۶	۲۱۲
ترا	۲۰۰۸	۶۴	ترا	۲۰۱۳	۱۳	آکوا	۲۰۱۵	۱۹۳	ترا	۲۰۱۶	۲۱۴
ترا	۲۰۰۸	۶۴	آکوا	۲۰۱۳	۱۴	آکوا	۲۰۱۵	۱۹۴	آکوا	۲۰۱۶	۲۱۴
ترا	۲۰۰۸	۶۴	ترا	۲۰۱۳	۱۴	ترا	۲۰۱۵	۱۹۵	آکوا	۲۰۱۷	۴
ترا	۲۰۰۸	۹۴	آکوا	۲۰۱۳	۱۴۹	ترا	۲۰۱۵	۱۹۷	ترا	۲۰۱۷	۵
ترا	۲۰۰۸	۲۱۹	ترا	۲۰۱۳	۱۵۴	آکوا	۲۰۱۵	۱۹۸	آکوا	۲۰۱۷	۵
ترا	۲۰۰۸	۲۲۶	ترا	۲۰۱۳	۲۱۲	آکوا	۲۰۱۵	۲۰۰	ترا	۲۰۱۷	۶
آکوا	۲۰۰۸	۲۲۷	ترا	۲۰۱۳	۲۱۳	ترا	۲۰۱۵	۲۰۲	آکوا	۲۰۱۷	۶
ترا	۲۰۰۹	۱۰۵	ترا	۲۰۱۳	۲۲۴	ترا	۲۰۱۵	۲۰۲	ترا	۲۰۱۷	۷
آکوا	۲۰۰۹	۱۱۹	ترا	۲۰۱۳	۲۵۵	ترا	۲۰۱۵	۲۰۳	آکوا	۲۰۱۷	۷
آکوا	۲۰۰۹	۱۲۰	ترا	۲۰۱۳	۲۵۸	آکوا	۲۰۱۵	۲۰۳	ترا	۲۰۱۷	۸
ترا	۲۰۰۹	۱۶۷	آکوا	۲۰۱۳	۱۲۶	آکوا	۲۰۱۵	۲۰۴	آکوا	۲۰۱۷	۸
ترا	۲۰۰۹	۱۷۱	آکوا	۲۰۱۴	۱۵۶	آکوا	۲۰۱۵	۲۶۲	ترا	۲۰۱۷	۹
آکوا	۲۰۱۰	۱۴۱	ترا	۲۰۱۴	۱۸۳	آکوا	۲۰۱۶	۱۰	آکوا	۲۰۱۷	۹
آکوا	۲۰۱۰	۱۴۶	ترا	۲۰۱۵	۹۰	ترا	۲۰۱۶	۱۱	ترا	۲۰۱۷	۱۲۳
آکوا	۲۰۱۰	۱۴۸	آکوا	۲۰۱۵	۹۱	ترا	۲۰۱۶	۳۹	آکوا	۲۰۱۷	۱۲۵
ترا	۲۰۱۰	۱۶۲	آکوا	۲۰۱۵	۹۱	ترا	۲۰۱۶	۳۶	ترا	۲۰۱۷	۱۲۶
آکوا	۲۰۱۰	۱۷۱	ترا	۲۰۱۵	۹۳	آکوا	۲۰۱۶	۳۶	آکوا	۲۰۱۷	۱۹۶
آکوا	۲۰۱۰	۱۷۷	آکوا	۲۰۱۵	۹۴	ترا	۲۰۱۶	۳۷	آکوا	۲۰۱۷	۱۹۷
آکوا	۲۰۱۰	۱۷۸	آکوا	۲۰۱۵	۹۵	ترا	۲۰۱۶	۴۰	ترا	۲۰۱۷	۱۹۸
آکوا	۲۰۱۰	۱۷۹	ترا	۲۰۱۵	۹۶	ترا	۲۰۱۶	۴۱	ترا	۲۰۱۷	۱۹۹
آکوا	۲۰۱۰	۱۹۵	آکوا	۲۰۱۵	۹۷	آکوا	۲۰۱۶	۴۳	آکوا	۲۰۱۷	۱۹۹
آکوا	۲۰۱۰	۲۰۲	ترا	۲۰۱۵	۹۷						

داده‌های آموزشی

در گام اول، طی سال‌های ۲۰۰۳ تا ۲۰۱۷، تعدادی از روزها که دید افقی آن‌ها در ایستگاه سینوپتیک ایرانشهر یا کهنوج کمتر از ۵۰۰۰ متر گزارش شده بود استخراج شد. سپس، تصاویر ماهواره‌ای سنجنده مادیس بر روی ماهواره‌های آکوا و ترا مربوط به آن تاریخ‌ها دانلود و پردازش شد. سپس، بر اساس آنالیز بصری، تعدادی از تصاویر به شرح جدول ۲ برای استخراج حد آستانه‌ها انتخاب شد. سپس، در هر تصویر مقادیر پارامترهای مورد نظر در چندین پیکسل از محدوده‌های متفاوت تصویر استخراج و نمودار آن‌ها در اکسل ترسیم شد.

جدول ۲. تصاویر ماهواره‌ای مورد استفاده برای آموزش

ردیف	نام سکو	تاریخ میلادی	ساعت	ردیف	نام سکو	تاریخ میلادی	ساعت
۱	ترا	۲۰۱۲/۰۵/۰۱	۰۶:۱۰	۸	ترا	۲۰۰۳/۰۲/۰۱	۰۷:۲۵
۲	ترا	۲۰۱۲/۰۳/۰۶	۰۷:۱۰	۹	ترا	۲۰۰۳/۰۲/۰۵	۰۶:۰۵
۳	ترا	۲۰۱۴/۰۲/۰۷	۰۷:۲۰	۱۰	آکوا	۲۰۰۳/۰۳/۰۵	۰۶:۵۰
۴	ترا	۲۰۱۴/۰۲/۰۷	۰۸:۵۰	۱۱	آکوا	۲۰۰۶/۱۶/۱۲	۰۶:۵۰
۵	ترا	۲۰۰۹/۰۲/۱۲	۰۶:۳۵	۱۲	ترا	۲۰۰۸/۲۱/۰۲	۰۶:۵۰
۶	ترا	۲۰۰۹/۰۲/۱۲	۰۹:۵۰	۱۳	آکوا	۲۰۰۹/۲۰/۱۲	۰۷:۱۵
۷	آکوا	۲۰۱۵/۰۲/۱۶	۰۷:۲۰	۱۴	ترا	۲۰۰۹/۲۰/۱۲	۰۸:۴۵

همچنین، داده‌های سطح دوم شامل داده‌های ضخامت نوری هوایی (AOD)^۱ سنجنده مادیس می‌باشند. عمق نوری یا ضخامت نوری هوایی‌ها کمیتی بی‌بعد است که میزان عبوردهی پرتو نور در جو را نشان می‌دهد و بیانگر میزان جذب و پراکشن ناشی از هوایی‌ها در مسیر عبوری نور است (رید میلر، ۲۰۰۶: ۱). مقادیر بیشتر AOD بیانگر انباست بیشتر هوایی‌ها در ستون جوی و در نتیجه دید افقی کمتر است (وانگ و کریستوفر، ۲۰۰۳: ۴-۶). ضخامت نوری هوایی‌ها روزانه و در پیکسل‌هایی با ابعاد 10×10 کیلومتر مربع ارائه می‌شود (جی یو، ۲۰۱۷: ۳).

داده‌های جوی

برای مطالعه شرایط جو از داده‌های مرکز پیش‌بینی محیطی / مرکز پژوهش جوی (NCEP/NCER) با تفکیک ۰.۵ درجه طی سال‌های ۲۰۰۱ تا ۲۰۱۷ در تاریخ‌های ذکر شده در جدول ۱ استفاده شده است. داده‌های جوی شامل سطوح ژئوپتانسیل، سرعت، و جهت باد در تراز ۵۰۰ هکتوپاسکال است (ستاندر، ۱۹۹۷).

خروجی‌های مدل Hysplit برای ردیابی ذرات معلق در جو

مدل Hysplit^۲ مدلی دوگانه (ترکیبی میان دیدگاه‌های اویلری و لاگرانژی) است که برای محاسبات خط سیر حرکت گرد و غبار، پراکندگی، و شبیه‌سازی تهشیبی آن‌ها با استفاده از از رویکردهای پخش^۳ و ذرات در مقیاس‌های بین ۱ و ۱۰۰۰ کیلومتر است (رولف، ۲۰۱۷: ۲۱۱). در هنگام مدل‌سازی گرد و غبار، نخست باید منبع انتشار گرد و غبار مشخص

1. Aerosol Optical Depth

2. Hybrid Single Particles Lagrangian Integrated Trajectory

3. PUFF

شود. در اجرای این مدل از داده‌های آنالیز شده نهایی، که در واقع اطلاعات پردازش شده مرکز پیش‌بینی محیطی وابسته به اداره ملی اقیانوسی و جوی است، استفاده می‌شود (دراکسلر و هس، ۱۹۹۸: ۳۰۰).

روش‌های مورد استفاده برای آشکارسازی گرد و غبار

روش‌های متعددی برای آشکارسازی گرد و غبار با استفاده از داده‌های سنجش از دور وجود دارد که در این مطالعه از سه روش به شرح ذیل استفاده شده است:

جدول ۳. معرفی شاخص‌های به کاررفته در روش‌های مورد مطالعه

پارامترهای مورد استفاده	شاخص و پارامترهای مورد استفاده	روش
, $BT_{3.7\mu m}$ $BT_{11\mu m}$, $BT_{12\mu m}$, $R_{0.47\mu m}$ $R_{2.13\mu m}$,	$BTD = BT_{3.7\mu m} - BT_{11\mu m}$ $BTD = BT_{11\mu m} - BT_{12\mu m}$; $NDDI = \frac{R_{2.13\mu m} - R_{0.47\mu m}}{R_{2.13\mu m} + R_{0.47\mu m}}$	Xie (2009)
$R_{0.47\mu m}$, $R_{0.64\mu m}$, $R_{0.86\mu m}$, $R_{1.38\mu m}$ $BT_{3.9\mu m}$, $BT_{11\mu m}$, $BT_{12\mu m}$, $BTD = BT_{3.9\mu m} - BT_{11\mu m}$ $BTD = BT_{11\mu m} - BT_{12\mu m}$; $NDVI = \frac{NDVI^2}{R_{0.64\mu m} + R_{0.86\mu m}}$ $NDVI = \frac{R_{0.64\mu m} - R_{0.86\mu m}}{R_{0.64\mu m} + R_{0.86\mu m}}$ $Rat2 = \frac{Rat1 \times Rat1}{R_{0.47\mu m} \times R_{0.47\mu m}}$ $Rat1 = \frac{R_{0.64\mu m} - R_{0.47\mu m}}{(R_{0.64\mu m} + R_{0.47\mu m})}$	Zhao et al. (2010)
$BT_{8.6\mu m}$, $BT_{11\mu m}$, $BT_{12\mu m}$ $BTD_{8.6\mu m-11\mu m} > 0 \rightarrow a = 5$ $BTD_{8.6\mu m-11\mu m} \leq 0 \rightarrow a = 10$	$TIIDI = (BTD_{12\mu m-11\mu m}) \times \exp(-\frac{(BTD_{8.6\mu m-11\mu m})}{a}) \times (BTD_{3.7\mu m-11\mu m})$	Liu and liu (2011)

*در جدول، R_i نشان‌دهنده انعکاس در طول موج i و BT_i نشان‌دهنده دمای درخشندگی در طول موج i است

روش ارائه شده توسط زی^۱ (۲۰۰۹)

در این روش، که مبتنی بر تصمیم درختی است، از شاخص‌های متعدد استفاده می‌شود. هر یک از این شاخص‌ها عمدتاً توسط افراد دیگری توسعه داده شده‌اند؛ به عنوان مثال، می‌توان به شاخص‌های ارائه شده توسط آکرمن (۱۹۸۹) و کیو و همکاران (۲۰۰۶: ۴۸۵) اشاره کرد. به طور کلی، این الگوریتم، که بر اساس ترکیب استفاده از ۶ باند طیفی سنجنده مادیس در طیف‌های حرارتی و انعکاس توسعه یافته است، قادر به شناسایی طوفاهای گرد و غبار بر روی سطوح تاریک و سطوح روشن است.

روش ژاو و همکاران (۲۰۱۰)

این روش برای تشخیص گرد و غبار بر روی زمین و سطح اقیانوس در طول روز ارائه شده است. تشخیص گرد و غبار بر روی زمین بر اساس آزمون‌های درجه حرارت باندهای مادون قرمز و رادیانس باندهای مرئی انجام می‌پذیرد.

روش لیو و لیو (۲۰۱۱)

لیو و لیو (۲۰۱۱) شاخص یکپارچه مادون قرمز حرارتی (TIIDI)^۲ برای تفکیک گرد و غبار، سطوح شنی، و ابر پیشنهاد داد. مزیت اصلی این روش نشان‌دهنده شدت گرد و غبارهاست.

1. Xie

2. Thermal Infrared Integrated Dust Index

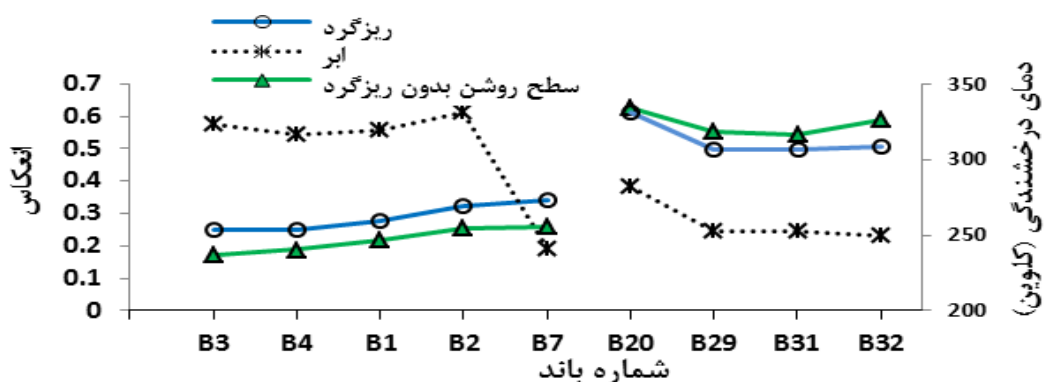
در جدول ۳ روابط مورد استفاده در سه روش اشاره شده در بالا ارائه شده است. با تغییر منطقه مورد مطالعه، ویژگی‌های ذرات گرد و غبار و ترکیب گونه‌های ذرات معلق در هوا از لحظه زمانی و مکانی تغییر می‌کند. بدینهی است بررسی و ارزیابی هر یک از شاخص‌های طیفی ارائه شده توسط محققان برای منطقه مورد مطالعه ضروری است. در صورت ناکارآمدی این شاخص‌ها، باید شاخص با منطقه بهینه و سازگار و در صورت لزوم شاخص‌های بومی جدید ارائه شوند.

روند اجرای تحقیق

تحلیل‌های آماری در محیط نرم‌افزار Excel و تصحیحات و پردازش‌ها بر روی تصاویر ماهواره‌ای در محیط نرم‌افزار ENVI 5.3 انجام شد. در این مطالعه تصاویر ماهواره‌ای با سطح B1 زمین مرجع و سپس تصحیح هندسی بر روی آن‌ها انجام گرفت. در گام بعد، محدوده مطالعه بر روی تصاویر برش داده شده و در ادامه درجه حرارت روشنایی برای تصاویر محاسبه شد. با توجه به تأثیر عمدہ‌ای که ذرات گرد و غبار در میزان بازتابش و درجه حرارت روشنایی تصاویر مورد نظر دارند، توده‌های گرد و غبار آشکار خواهند شد. محصولات سطح دوم نیز زمین مرجع شدند تا برای محدوده خاص روی زمین اطلاعات متناظر مربوط به صخامت نوری آئرولوبل و ... به دست آید.

انتخاب باندهای مناسب

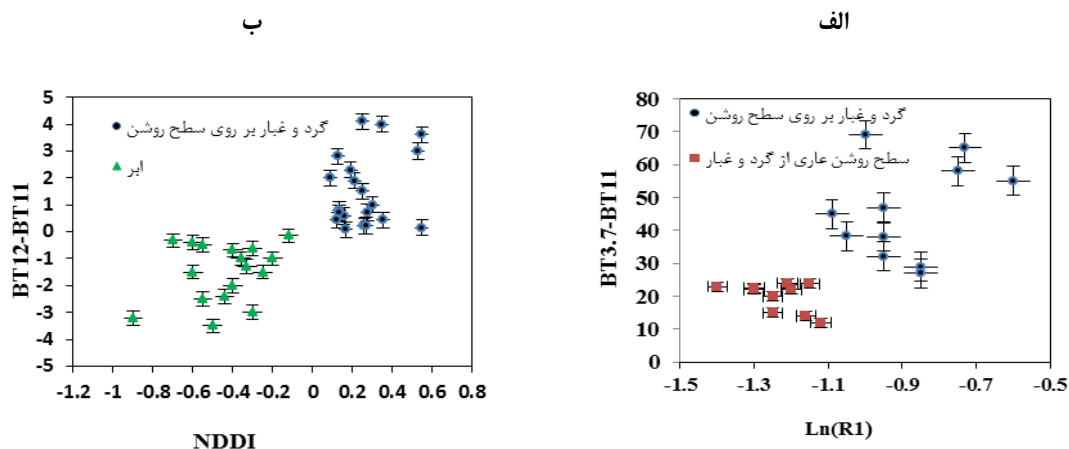
در شکل ۲ نمودار رفتار انعکاس باندهای مرئی و دمای درخشندگی باندهای حرارتی در پیکسل‌های آموزشی برای پدیده‌های مورد بررسی در این مطالعه ترسیم شده است. با توجه به مقادیر بازتاب حاصل شده در باندهای شماره ۳، ۴، ۳، ۱، ۲، و ۷ سنجنده مادیس (به ترتیب در طول موج‌های $0.46\mu\text{m}$, $0.64\mu\text{m}$, $0.55\mu\text{m}$, $0.86\mu\text{m}$, و $2.13\mu\text{m}$) برای پدیده‌های متفاوت، در پیکسل‌های ابری شبیب نمودار از باند ۳ به باند ۷ منفی است؛ ولی در سایر پیکسل‌ها شبیب مشبت است. درواقع، همین تفاضل مبنای معرفی شاخص NDDI در تفکیک ابر از سایر کلاس‌های است. همچنین، در طیف‌های حرارتی ابر دمای درخشندگی کمتری نسبت به پیکسل‌های آلوده به گرد و غبار و سطح روشن بدون گرد و غبار دارد. این تفاوت نیز می‌تواند برای تمایز ابر از سایر کلاس‌ها مفید باشد (زمی، ۲۰۰۹).



شکل ۲. نمودار رفتار انعکاس باندهای مرئی و دمای درخشندگی باندهای حرارتی در پیکسل‌های آموزشی برای پدیده‌های مورد بررسی

استخراج حد آستانه‌ها

در شکل ۳ بخش «الف» مقادیر $BT_{z7\mu m} - BT_{11\mu m}$ و $Ln(R1)$ برای تفکیک سطوح روشن عاری از گرد و غبار و حاوی گرد و غبار ترسیم شده است. مطابق این شکل در سطوح روشن عاری از گرد و غبار $-1.4 > Ln(R1) > 2.5$ و در سطوح روشن حاوی گرد و غبار $-1.1 > Ln(R1) > 32-31$ است. همچنین، $BT_{z7\mu m} - BT_{11\mu m}$ حدود ۲۵ برای تفکیک سطوح گرد و غبار از سطوح عاری از گرد و غبار به دست آمده است. در بخش «ب» مشخص است پارامترهای NDDI و BTD(32-31) برای پیکسل‌های ابر منفی و برای گرد و غبار و سطوح مثبت است. همچنین، برای استخراج حد آستانه در روش IIIDI با استفاده از آنالیز بصری و همچنین میدان دید افقی در تعدادی تصاویر مورد استفاده در آموزش مشخص شد که مقادیر IIIDI بزرگ‌تر از ۲۰ نشان‌دهنده وقوع گرد و غبار است.



شکل ۳. استخراج حد آستانه‌ها در شاخص‌های مورد استفاده

یافته‌های تحقیق

بررسی حد آستانه‌ها

همان‌طور که در شکل ۳ بخش «ب» مشخص است، $BT12-BT11$ برای ذرات گرد و غبار مثبت و برای ابر منفی است. (آکمن، ۱۹۹۷: ۱۷۰۷۵). نیز آستانه جهانی برای تفکیک گرد و غبار را صفر معرفی کرده است. همچنین، کیو و همکاران (۲۰۰۶: ۴۸۵) از شاخص NDDI با حد آستانه صفر برای تفکیک ابر از سایر پدیده‌ها استفاده کردند. نتایج حاصل از این مطالعه در منطقه جازموریان با مطالعات سایر محققان همخوانی دارد

مقایسه روش‌های مورد استفاده و بررسی دقت الگوریتم‌ها

در جدول ۴ تعدادی از تصاویر پردازش شده در این مطالعه، که با اعمال الگوریتم‌های مورد استفاده در این مطالعه ریزگرد شناسایی شده، نشان داده شده است.

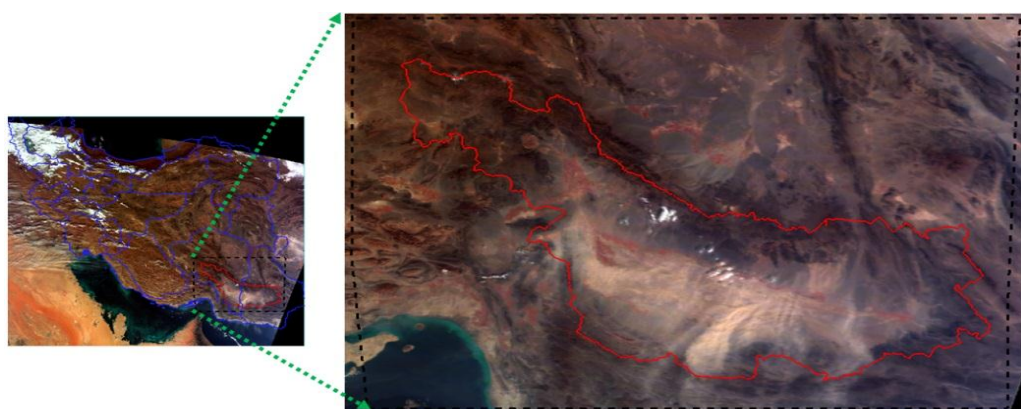
به منظور تفسیر بهتر رخداد طوفان ریزگرد در منطقه مورد مطالعه، پدیده وقوع ریزگرد طی تاریخ‌های ۲۰۱۷/۰۱/۰۴ تا ۲۰۱۷/۰۱/۰۷ بررسی شد. در شکل ۴ تصویر اخذشده از سنجنده مادیس ماهواره ترا در تاریخ ۲۰۱۷/۰۱/۰۶ با ترکیب رنگ واقعی نشان داده شده است. در شکل ۵ نتیجه آشکارسازی گرد و غبار با دو روش زی (۲۰۰۹) و ژاو و همکاران (۲۰۱۰) نشان داده شده است.

به منظور ارزیابی دقت نتایج از دید افقی در ایستگاه سینوپتیک کهنه‌ج استفاده شد. جدول ۵ مقادیر دید افقی را در

ایستگاه کهنه‌ج طی تاریخ‌های مورد مطالعه نشان می‌دهد. بر اساس آمار این جدول، دید افقی در تاریخ ۲۰۱۷/۰۱/۰۶ نسبت به سایر روزها کمتر است. بدین‌گاه فاصله نسبتاً زیاد ایستگاه سینوپتیک کهنه‌ج (حدود ۱۲۰ کیلومتر) با تالاب جازموریان، این ارقام با نتایج شکل ۶، که وسعت گرد و غبار در این تاریخ قابل ملاحظه است، همخوانی دارد.

جدول ۴. تعدادی از تصاویر مورد پردازش که با استفاده از الگوریتم‌های مورد مطالعه ریزگرد آشکارسازی شده است

سکو	سال	سال	روز	سکو	سال	سال	روز	سکو	سال	سال	روز	سکو	
ترا	۲۰۰۲	۱۹	اکوا	۲۰۱۲	۹۹	۲۰۱۴	۱۸۳	ترا	۲۰۱۶	۴۱			
ترا	۲۰۰۲	۲۶	ترا	۲۰۱۲	۱۵۶	۲۰۱۵	۹۳	ترا	۲۰۱۶	۸۴			
اکوا	۲۰۰۳	۱۴۹	اکوا	۲۰۱۲	۱۵۷	۲۰۱۵	۹۹	اکوا	۲۰۱۶	۸۴			
اکوا	۲۰۰۳	۱۵۰	اکوا	۲۰۱۲	۱۵۷	۲۰۱۵	۱۷۸	اکوا	۲۰۱۶	۸۶			
ترا	۲۰۰۳	۱۵۰	ترا	۲۰۱۲	۱۵۷	۲۰۱۵	۱۷۸	ترا	۲۰۱۶	۱۰۷			
ترا	۲۰۰۴	۳۹	ترا	۲۰۱۲	۱۷۳	۲۰۱۵	۲۰۲	اکوا	۲۰۱۶	۱۰۷			
اکوا	۲۰۰۴	۸۲	ترا	۲۰۱۲	۲۰۵	۲۰۱۶	۱۰	ترا	۲۰۱۶	۱۷۵			
ترا	۲۰۰۴	۱۲۷	اکوا	۲۰۱۳	۱۲	۲۰۱۶	۱۱	ترا	۲۰۱۶	۲۱۴			
ترا	۲۰۰۴	۱۳۵	ترا	۲۰۱۳	۱۳	۲۰۱۶	۲۹	اکوا	۲۰۱۶	۲۱۴			
ترا	۲۰۰۸	۵۲	اکوا	۲۰۱۳	۱۴	۲۰۱۶	۳۶	ترا	۲۰۱۷	۵			
ترا	۲۰۰۸	۹۴	ترا	۲۰۱۳	۱۴	اکوا	۲۰۱۶	۳۶	اکوا	۲۰۱۷	۵		
ترا	۲۰۰۹	۱۰۵	اکوا	۲۰۱۴	۱۲۶	۲۰۱۶	۳۷	ترا	۲۰۱۷	۶			
ترا	۲۰۱۰	۱۷۱	اکوا	۲۰۱۲	۹۹	۲۰۱۶	۴۰	اکوا	۲۰۱۷	۶			



شکل ۴. تصویر اخذشده از سنجنده مادیس ماهواره ترا برای تاریخ ۲۰۱۷/۰۱/۰۶ با ترکیب رنگ واقعی در محدوده مورد مطالعه

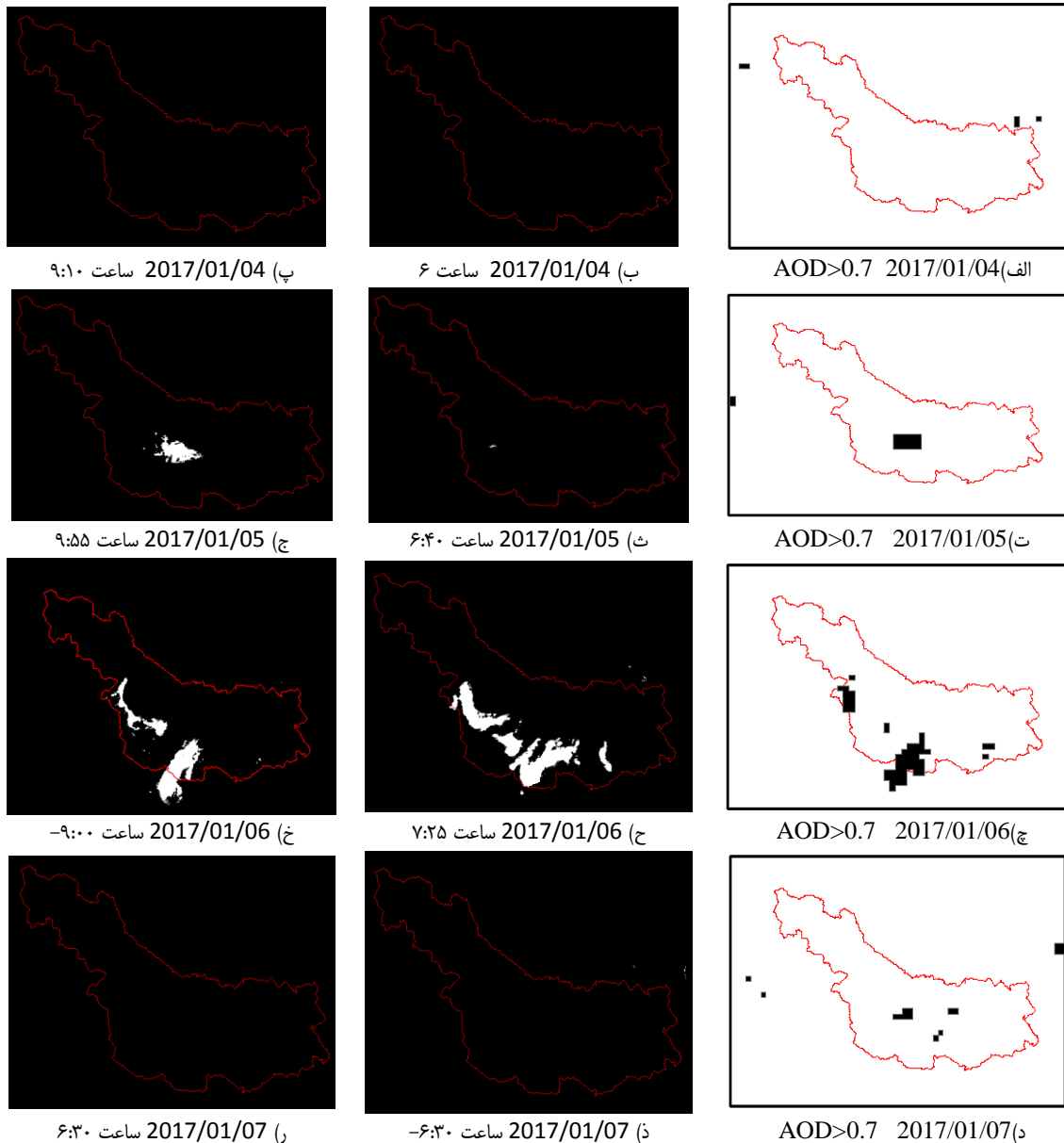


شکل ۵. نتیجه اجرای الگوریتم‌های آشکارسازی گرد و غبار در ۲۰۱۷/۰۱/۰۶ برای محدوده مورد مطالعه (محدوده سیاه رنگ پیکسل‌های آلوده به ذرات گرد و غبار است). الف: نتیجه روش زی (2009); ب نتیجه اجرای روش زاو و همکاران (2010)

جدول ۵. دید افقی در ایستگاه سینوپتیک کهنه‌ج برای تاریخ‌های مورد مطالعه

تاریخ	۰۱/۰۸/۲۰۱۷	۰۱/۰۷/۲۰۱۷	۰۱/۰۶/۲۰۱۷	۰۱/۰۵/۲۰۱۷
دید افقی	۱۰۰۰۰	۱۰۰۰۰	۴۰۰۰	۱۰۰۰۰

همچنین، برای ارزیابی دقیق روش‌های آشکارسازی محصول عمق نوری ذرات معلق^۱ سنجنده مادیس از محصول myd04 سنجنده مادیس استفاده شده است.



شکل ۶. مقایسه دقت روش ژاو و همکاران (۲۰۱۰) و AOD در آشکارسازی گرد و غبار طی دوره ۲۰۱۷/۱۰/۸۰ تا ۲۰۱۷/۱۰/۲۰. تصاویر «الف»، «ت»، «چ»، «د»، و «ز» بخش‌های سیاهرنگ پیسکلهای باارزش AOD>0.7 و نشان‌دهنده تراکم گرد و غبار بیشتر هستند. سایر تصاویر نتیجه آشکارسازی گرد و غبار با رنگ سفید نشان داده شده است

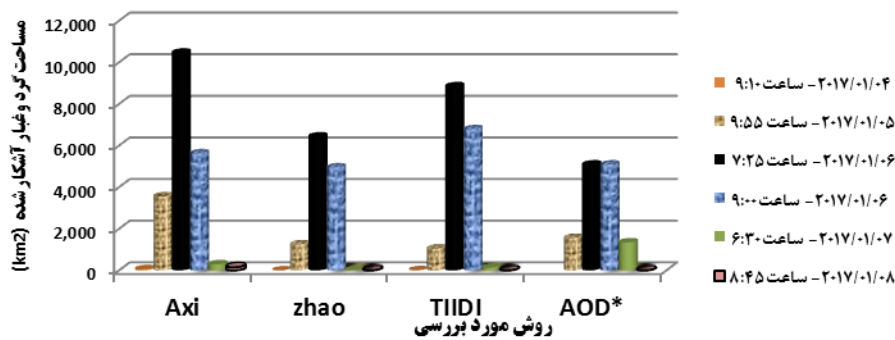
در شکل ۶ نتایج حاصل از اجرای روش (ژاو، ۲۰۱۰) بر روی تصاویر مادیس و محصول myd04 سنجنده مادیس در آشکارسازی گرد و غبار طی دوره ۰۴/۰۱/۰۷ تا ۰۷/۰۱/۲۰ نشان داده شده است. در تصاویر «الف»، «ت»، «ج»، و «د» بخش‌های سیاهرنگ پیکسل‌های بالرژش $AOD > 0.7$ و نشان‌دهنده تراکم گرد و غبار بیشتر می‌باشد. در تصاویر «ب»، «پ»، «ث»، «ج»، «ح»، «ذ»، و «ر» نتیجه آشکارسازی گرد و غبار با استفاده از روش (ژاو، ۲۰۱۰) به رنگ سفید نشان داده شده است. به طور کلی، با مقایسه تصاویر «ب» و «پ» در شکل ۶ روش می‌شود که در تاریخ ۰۴/۰۱/۲۰ هیچ گرد و غباری در محدوده حوضه جازموریان وجود نداشته است. در تاریخ ۰۵/۰۱/۲۰ ساعت ۰۶:۰۰ تصویر «ث» طوفان گرد و غبار در مرکز تالاب جازموریان شروع شده است و تا ساعت ۹:۵۵ (تصویر «ج») روند افزایشی داشته است. در ادامه این فرایند، در تاریخ ۰۶/۰۱/۲۰ ساعت ۰۷:۲۵ سطح طوفان گرد و غبار به بیشترین مقدار رسیده است (تصویر «ح») و در ساعت ۹ همین روز (تصویر «خ») طوفان روند کاهشی پیدا کرده است. مطابق با تصاویر «ذ» و «ر» در روز بعد (۰۷/۰۱/۲۰) طوفان گرد و غبار در حوضه جازموریان به طور کامل پایان یافته است. علاوه بر این، در شکل ۶ روند وقوع، اوج، و فروکش کردن طوفان گرد و غبار در محل تالاب جازموریان طی دوره ۰۴/۰۱/۲۰ تا ۰۷/۰۱/۲۰ با استفاده از AOD ذرات معلق نیز نشان داده شده است. تصاویر «الف»، «ت»، «ج»، و «د» مستخرج از محصول MYD04 مادیس طی دوره مورد بررسی هستند که در آن پیکسل‌هایی که نشان‌دهنده غلظت بیشتر ذرات معلق بودند ($AOD > 0.7$) با رنگ سیاه نشان داده شده‌اند. در تاریخ ۰۴/۰۱/۲۰ در محدوده تالاب جازموریان هیچ پیکسلی که نشان‌دهنده غلظت زیاد ذرات معلق موجود در هوا باشد شناسایی نشده است. در این روز بین روش ممحول عمق نوری و الگوریتم‌های مورد استفاده همخوانی وجود دارد؛ زیرا مطابق تصاویر «ب» و «پ» در همین تاریخ هیچ گرد و غباری در حوضه جازموریان وجود نداشته است.

البته، قابل ذکر است در این روز روش AOD (تصویر «ث») همخوانی بیشتری با گرد و غبار آشکارشده در ساعت ۹:۵۵ (تصویر «ج») دارد. با توجه به اینکه AOD به صورت میانگین روزانه ارائه شده و در این روز دو تصویر (تصویر ساعت ۰۶:۰۰ سنجنده مادیس بر روی ماهواره ترا و تصویر ساعت ۹:۵۵ سنجنده مادیس بر روی ماهواره آکوا) موجود است، تصویر دوم که مدت زمان بیشتر از وقوع طوفان گذشته، دقیق بیشتری را ارائه می‌کند. سطح شناسایی شده و موقعیت مکانی پیکسل‌های گرد و غبار در تاریخ ۰۶/۰۱/۲۰ نیز نشان‌دهنده همخوانی بین روش‌های AOD (ژاو و همکاران، ۲۰۱۰) است. مطابق مرحله قبل، تصویر پردازش شده در ساعت ۹ (تصویر «خ») نسبت به تصویر پردازش شده ساعت ۰۷:۲۵ (تصویر «ح») با روش AOD همخوانی بیشتری دارد. مطابق تصویر «د»، روش AOD تعدادی پیکسل آلوهه به گرد و غبار را شناسایی کرده است؛ اما در تصاویر «ذ» و «ر» هیچ گرد و غباری شناسایی نشده است. این امر را می‌توان به این نسبت داد که AOD به صورت متوسط روزانه بیان شده است و تصاویر مادیس در یک زمان مشخص ثبت می‌شوند. گرچه تحقیقات گذشته حاکی از موقیت نسبی AOD در برآورد غلظت ذرات معلق است، باید درنظر داشت که با توجه به قدرت تفکیک مکانی پایین محصول AOD مادیس ($10\text{ km} \times 10\text{ km}$) نباید انتظار داشت که نتایج بسیار دقیقی ارائه کند (تیان و چن، ۲۰۱۰: ۱۲۱).

در جدول ۶ آمار مجموع مساحت پیکسل‌های آلوهه به گرد و غبار در تصاویر پردازش شده شکل‌های ۶ نشان داده شده است. به منظور ارزیابی بهتر در شکل ۷ گراف نتایج ارائه شده به وسیله روش‌های مورد بررسی و AOD نشان داده شده است.

جدول ۶. مقایسه مساحت گرد و غبار آشکارسازی شده در تاریخ‌های مورد مطالعه در روش‌های مختلف

	2017/01/07				2017/01/06				2017/01/05				01/04/2017				نحوه
	AOD	TIIDI	zhaoy	axi	AOD	TIIDI	zhaoy	Xie	AOD	TIIDI	zhaoy	Xie	AOD	TIIDI	Zhao	Xie	روش
	۰.۶۳۰	۰.۹۰۰	۰.۹۰۰	۰.۹۰۰	۰.۹۰۰	۰.۹۰۰	۰.۹۰۰	۰.۹۰۰	۰.۹۰۰	۰.۹۰۰	۰.۹۰۰	۰.۹۰۰	۰.۹۰۰	۰.۹۰۰	۰.۹۰۰	۰.۹۰۰	ساعت
	۱,۳۴۳	۱۱۳	۱۴	۲۶	۰,۸۰	۰,۷۸۹	۰,۹۵۳	۰,۹۵۳	۰,۹۵۳	۰,۹۵۳	۰,۹۵۳	۰,۹۵۳	۰,۹۰	۰,۹۰	۰,۹۰	۰,۹۰	A (Km^2)



شکل ۷. مقایسه مساحت گرد و غبار آشکارسازی شده در تاریخ‌های مورد مطالعه در روش‌های مختلف

بررسی توزیع شدت گرد و غبارها و مسیریابی ذرات گرد و غبار

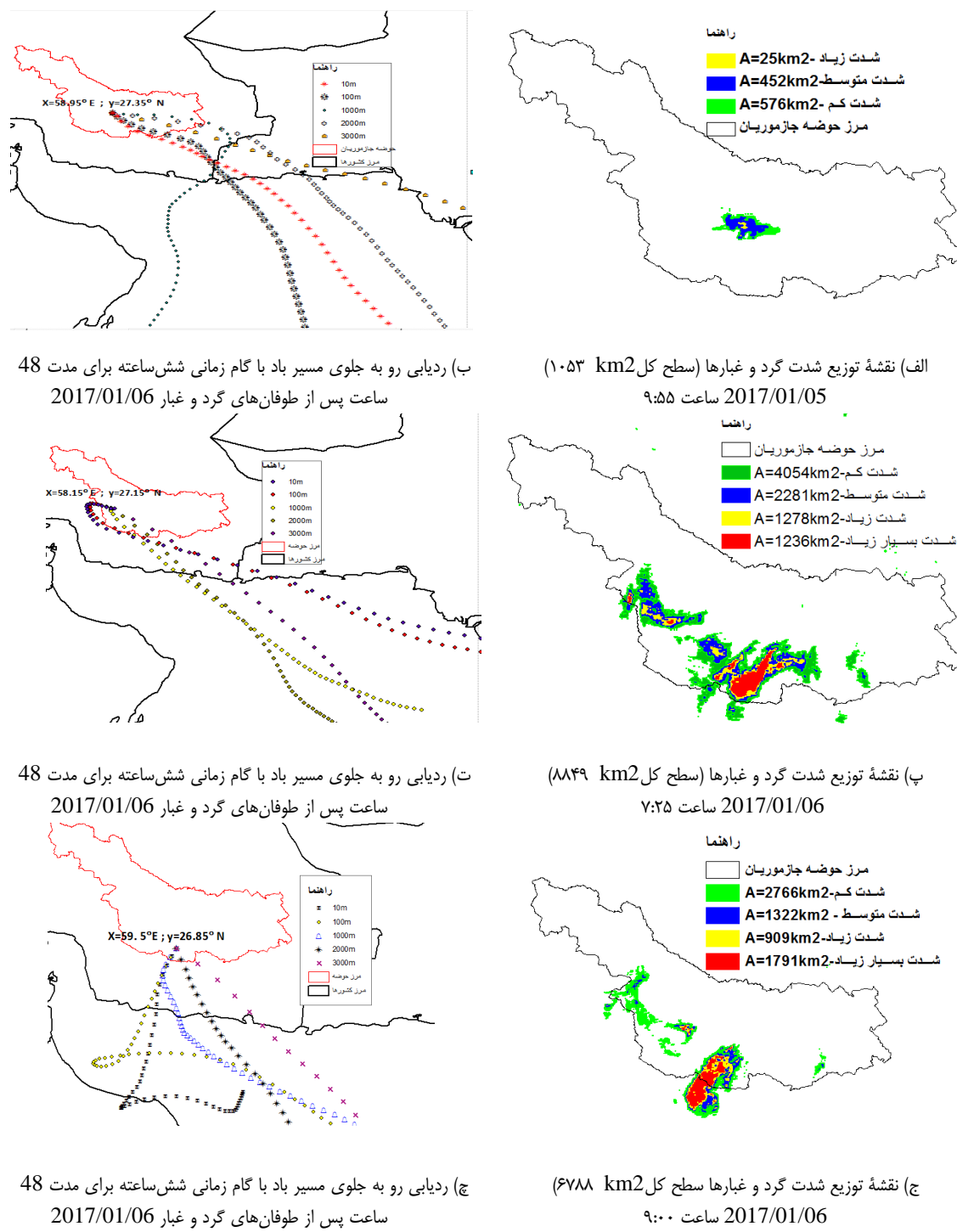
مزیت اصلی روش TIIDI نسبت به سایر روش‌ها ارائه شدت وقوع گرد و غبارهای است (عطایی و همکاران، ۱۳۹۴ ب). در این مطالعه، چهار تقسیم‌بندی مطابق جدول ۷ برای تفکیک شدت وقوع ذرات گرد و غبارها در نظر گرفته شده است.

جدول ۷. حد آستانه شاخص TIIDI و میزان شدت وقوع گرد و غبار

حد آستانه شاخص	میزان شدت گرد و غبار	حد آستانه شاخص	میزان شدت گرد و غبار
شدت متوسط	۳۰<TIIDI<40	شدت کم	۲۰<TIIDI<30
شدت خیلی زیاد	۵۰<TIIDI	شدت زیاد	۴۰<TIIDI<50

شکل ۸ نتیجه اجرای روش TIIDI در تاریخ‌های ۲۰۱۷/۰۱/۰۵ تا ۲۰۱۷/۰۱/۰۶ را نشان می‌دهد (تصاویر «الف»، «پ»، و «ج»). همچنین، برای ردیابی مسیر حرکت گرد و غبارها، نسخه آنلاین مدل HYSPLIT در سه نقطه، که شدت وقوع گرد و غبارها بیشتر بوده، اجرا شده است. ذرات گرد و غبار به صورت پیشوپ با گام زمانی شش ساعتی در پنج سطح ارتفاعی ۱۰، ۱۰۰، ۱،۰۰۰، ۲۰۰۰، و ۳۰۰۰ متری نسبت به سطح زمین به مدت ۴۸ ساعت ردیابی شد. نتیجه اجرای مدل HYSPLIT در شکل ۸ در تصاویر «ب»، «ت»، و «ج» درج شده است. در شکل ۸ «ب»، نتیجه اجرای این مدل در روز ۲۰۱۷/۰۱/۰۵ در کانون گرد و غبار با مختصات جغرافیایی $x=58.95^\circ$; $y=27.35^\circ$ (مرکز توده گرد و غبار- تصویر «الف») ترسیم شده است. همان‌طور که از ردیابی ذارت مشخص است، در همه سطوح ارتفاعی ذرات گرد و غبار به سمت جنوب‌شرق کشور حرکت خواهد کرد و دریای عمان و سواحل مکران را تحت تأثیر قرار خواهد داد. در تاریخ ۲۰۱۷/۰۱/۰۶، در دو بخش مشترف به تالاب و در

تودهٔ مجزا سطح قابل توجهی از گرد و غبار مشاهده می‌شود که مدل HYSPLIT برای هر دو نقطه اجرا شده است. در شکل ۸ «ت»، نتیجهٔ اجرای مدل برای کانون گرد و غبار با مختصات جغرافیایی $x=58.15^{\circ}$; $y=27.35^{\circ}$ نشان داده شده است. گرد و غبارهای برخاسته از جازموریان در همه سطوح ارتفاعی سواحل مکران و جنوب‌شرق کشور را تحت تأثیر قرار می‌دهند که با نتایج همخوانی دارد.



شکل ۸. نقشه شدت گرد و غبارهای آشکارسازی شده با روش TIRDI و ردیابی مسیر حرکت ذرات با استفاده از مدل HYSPLIT

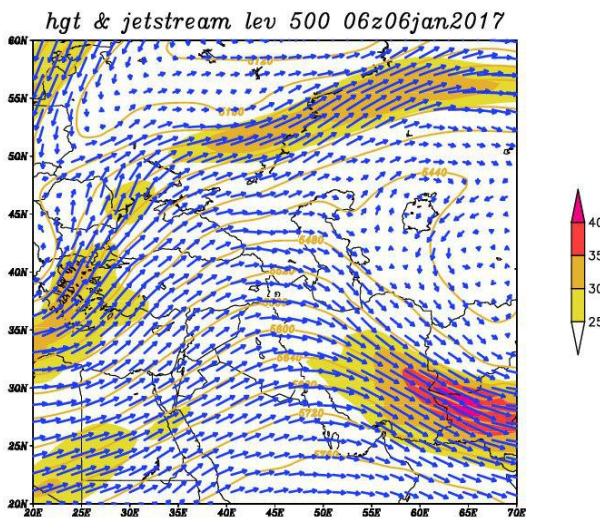
تحلیل نقشه‌های هواشناسی

به منظور بررسی وضعیت سرعت باد در تعدادی از روزهایی که با استفاده از الگوریتم‌های مورد بررسی گرد و خاک در منطقه مورد مطالعه آشکارسازی شده بود، به شرح جدول ۸، نقشه‌های سرعت باد رسم شد و متوسط سرعت در منطقه مورد مطالعه بررسی شد. مطابق جدول سرعت باد در بیشتر تاریخ‌های مورد بررسی بیش از ۳۰ متر در ثانیه است و در تاریخ‌هایی که سرعت کمتر از ۳۰ متر در ثانیه است، نقشه‌های سرعت باد برای روزهای قبل و بعد ترسیم شد و در نتیجه آن مشخص شد در روز مورد بررسی سرعت باد نسبت به روزهای قبیل و بعد بیشتر بوده که به وقوع ریزگرد منجر شده است.

در شکل ۹ نقشه ارتفاع ژئوپتانسیل در تاریخ ۰۶/۰۱/۲۰۱۷ به منظور بررسی وضعیت باد در محدوده مورد مطالعه ترسیم شده است. همان‌طور که مشخص است، یک «پر ارتفاع» کل ایران را دربر گرفته است. بر روی سطح زمین یک مرکز انتی سیکلونی داریم که جهت گردش باد در این سیستم‌ها ساعت‌گرد است. یک جت (ریل، ۱۹۶۱: ۱۱) با سرعت بیشتر از ۳۰ متر در ثانیه محدوده مورد مطالعه را دربر گرفته است که امکان وقوع گرد و غبار وجود دارد. گرچه هسته اصلی آن با سرعت ۴۰ متر در ثانیه در شرق منطقه مورد مطالعه قرار دارد.

جدول ۸. میزان سرعت باد در ارتفاع ژئوپتانسیل ۵۰۰ هکتوباسکل

سال	روز	سرعت (m/s)	توضیحات
۲۰۰۳	۱۵۰	۱۵	سرعت کمتر از ۳۰ متر در ثانیه است؛ اما نسبت به روزهای قبیل و بعد بیشتر است
۲۰۰۴	۳۹	۳۲	
۲۰۰۴	۸۲	۳۴	
۲۰۰۸	۹۴	۲۴	سرعت کمتر از ۳۰ متر در ثانیه است؛ اما نسبت به روزهای قبیل و بعد بیشتر است
۲۰۰۹	۱۰۵		
۲۰۱۲	۱۵۷	۱۵	سرعت کمتر از ۳۰ متر در ثانیه است؛ اما نسبت به روزهای قبیل و بعد بیشتر است
۲۰۱۳	۱۳	۲۵	سرعت کمتر از ۳۰ متر در ثانیه است؛ اما نسبت به روزهای قبیل و بعد بیشتر است
۲۰۱۳	۱۴	۳۰	
۲۰۱۶	۳۶	۲۱	سرعت کمتر از ۳۰ متر در ثانیه است؛ اما نسبت به روزهای قبیل و بعد بیشتر است
۲۰۱۶	۸۴	۲۴	
۲۰۱۶	۱۰۷	۲۳	سرعت کمتر از ۳۰ متر در ثانیه است؛ اما نسبت به روزهای قبیل و بعد بیشتر است
۲۰۱۷	۵	۳۱	



شکل ۹. نقشه ارتفاع ژئوپتانسیل، سرعت، و جهت وزش باد در تاریخ 2017/01/06

نتیجه‌گیری

با وجود مشکلات فقدان ایستگاه‌های پایش گرد و غبار و سینوپتیک در نزدیکی محدوده تالاب حوضه آبریز هامون جازموریان، با کمک روش‌های ارائه شده در مطالعات محققان، گرد و غبارهای منطقه مورد مطالعه آشکارسازی شد. در این مطالعه برای آشکارسازی گرد و غبار با استفاده از تصاویر ماهواره‌ای از روش‌های زی (۲۰۰۹: ۵۱)، ژاو و همکاران (۲۰۱۰: ۱)، و TIIDI ارائه شده توسط لیو و لیو (۲۰۱۱: ۱) طوفان گرد و غبار رخداده در تاریخ‌های ۰۵/۰۱/۲۰۱۷ تا ۰۷/۰۱/۲۰۱۷ در محدوده تالاب جازموریان آشکارسازی شد. برای بررسی صحت نتایج از دید افقی در نزدیکترین ایستگاه سینوپتیک و محصول عمق نوری سنجنده مادیس (myd04) استفاده شد. به رغم اینکه پیکسل‌های عمق نوری آئروسل‌ها در ابعاد 10×10 کیلومتری می‌باشد، در هر گذر از ماهواره، سطح زمین فقط توسط تعداد محدودی از این پیکسل‌ها پوشش داده می‌شود. بین نتایج حاصل از سه روش آشکارسازی گرد و غبار و روش عمق نوری سنجنده مادیس همخوانی وجود داشت. نتایج نشان داد طوفان گرد و غبار در صبح روز ۰۵/۰۱/۲۰۱۷ از مرکز تالاب جازموریان شروع می‌شود و در صبح روز ۰۶/۰۱/۲۰۱۷ سطح بسیار بیشتری را دربر می‌گیرد. این طوفان در روز ۰۵/۰۱/۲۰۱۷ به طور کامل فروکش می‌کند. پیشرفت‌های اخیر در زمینه سنجش از دور امکان به کارگیری تصاویر ماهواره‌ای را جهت بررسی منشأ گرد و غبارها فراهم کرده است. این امر در مطالعه تالاب فصلی جازموریان در جنوب‌شرق کشور، که فاقد ایستگاه‌های پایش گرد و غبار و حتی سینوپتیک است، بسیار کارآمد است. استفاده از تصاویر ماهواره‌ای در مطالعه پدیده گرد و غبار، علاوه بر مشخص کردن پدیده‌های گردوغباری و میزان سطح گردوغبار، شناسایی نواحی منشأ این پدیده را امکان‌پذیر می‌کند.

همچنین، نتایج ردیابی ذرات برخاسته از کانون‌های گرد و غبار در تاریخ‌های مورد مطالعه (مرکز سطح گرد و غبار شناسایی شده با شدت بیشتر) حاکی از حرکت ذرات به سمت جنوب‌شرق کشور، سواحل مکران، و گاهی خلیج فارس است. بدینهی است عواملی مثل پوشش ابر، کانی‌شناسی ذرات گرد و غبار، و انعکاس سطح زمین در تکنیک آشکارسازی گرد و غبارها تأثیر می‌گذارند. در مورد محدوده تالاب جازموریان سطح خشک‌شده تالاب و پوشش ضعیف حوضه جازموریان و انعکاس سطوح ماسه‌ای عواملی هستند که شناسایی و آشکارسازی گرد و غبار را سخت می‌کنند.

منابع

- اداره کل حفاظت محیط زیست استان سیستان و بلوچستان (۱۳۹۳). تهیه نقشه پایه منابع اکولوژیک تالاب جازموریان و معرفی آن به عنوان یکی از مناطق تحت حفاظت سازمان حفاظت محیط زیست با استفاده از RS و GIS.
- شمშیری، س؛ جعفری، ر؛ سلطانی، س. و رمضانی، ن. (۱۳۹۳). آشکارسازی و پنهان‌بندی ریزگردهای استان کرمانشاه با استفاده از تصاویر ماهواره‌ای MODIS، *بوم‌شناسی کاربردی*، ۳(۸).
- عطایی، ش؛ محمدزاده، ع. و آبکار، ع.ا. (۱۳۹۴). الف) شناسایی گرد و غبار با استفاده از روش درخت تصمیم‌گیری از تصاویر سنجنده مادیس، مجله علمی-پژوهشی علوم و فنون نقشه‌برداری، ۴(۴): ۱۵۰-۱۵۱.
- عطایی، ش؛ آبکار، ع.ا. و محمدزاده، ع. (۱۳۹۴). ب) شناسایی گرد و غبار با استفاده از شاخص TIIDI بهبودیافته و به کارگیری داده‌های سنجنده مادیس، *محیط‌شناسی*، ۴(۳): ۵۷۲-۵۶۳.
- مصطفی‌آبادی، ح. (۱۳۹۲). مدل‌سازی منابع آب با استفاده از نرم‌افزار MODSIM با هدف نگرش یکپارچه به چالش‌ها و راهکارهای حوضه آبریز هامون جازموریان، پنجمین کنفرانس مدیریت منابع آب.
- Ackerman, S.A. (1989). Using the radiative temperature difference at 3.7 and 11 μm to tract dust outbreaks, *Remote Sensing of Environment*, 27(2): 129-133.
- Ackerman, S.A. (1997). Remote sensing aerosols using satellite infrared observations, *Journal of Geophysical Research: Atmospheres*, 102(D14): 17069-17079.
- Ataei, Sh.; Abkar, A.A. and Mohammadzadeh, A. (2015a). Dust detection using improved TIIDI and applying MODIS sensor data, *Journal of Environmental Studies*, 41(3): 572-563.
- Ataei, Sh.; Mohammadzadeh, A. and Abkar, A.A. (2015b). Using Decision Tree Method for Dust Detection from MODIS Satellite Image, *JGST 2015*, 4(4): 151-160.
- Csavina, J.; Field, J.; Félix, O.; Corral-Avitia, A.Y.; Sáez, A.E. and Betterton, E.A. (2014). Effect of wind speed and relative humidity on atmospheric dust concentrations in semi-arid climates, *Science of The Total Environment*, 487: 82-90.
- Draxler, R.R. and Hess, G.D. (1998). An overview of the HYSPLIT_4 modelling system for trajectories, *Australian meteorological magazine*, 47(4): 295-308.
- Environmental Protection Agency of Sistan and Baluchestan provinc (2014). Preparation of the ecosystem resources map of Jazmourian wetland and its introduction as one of the protected areas of the Environmental Protection Agency using RS and GIS.
- Fu, Q.; Thorsen, T.J.; Su, J.; Ge, J.M. and Huang, J.P. (2009). Test of Mie-based single-scattering properties of non-spherical dust aerosols in radiative flux calculations, *Journal of Quantitative Spectroscopy and Radiative Transfer*, 110(14): 1640-1653.
- Guo, J.; Xia, F.; Zhang, Y.; Liu, H.; Li, J.; Lou, M. ... and Zhai, P. (2017). Impact of diurnal variability and meteorological factors on the PM 2.5-AOD relationship: Implications for PM 2.5 remote sensing, *Environmental Pollution*, 221: 94-104.
- Huang, J.; Fu, Q.; Su, J.; Tang, Q.; Minnis, P.; Hu, Y. ... and Zhao, Q. (2009). Taklimakan dust aerosol radiative heating derived from CALIPSO observations using the Fu-Liou radiation model with CERES constraints, *Atmospheric Chemistry and Physics*, 9(12): 4011-4021.
- Huang, J.; Wang, T.; Wang, W.; Li, Z. and Yan, H. (2014). Climate effects of dust aerosols over East Asian arid and semiarid regions, *Journal of Geophysical Research: Atmospheres*, 119(19).

- Kaufman, Y.J. and Tanré, D. (1998). Algorithm for remote sensing of tropospheric aerosol from MODIS. NASA MODIS Algorithm Theoretical Basis Document, *Goddard Space Flight Center*, 85: 3-68.
- Kaufman, Y.J.; Tanré, D.; Gordon, H.R.; Nakajima, T.; Lenoble, J.; Frouin, R. ... and Teillet, P.M. (1997). Passive remote sensing of tropospheric aerosol and atmospheric correction for the aerosol effect, *Journal of Geophysical Research: Atmospheres*, 102(D14): 16815-16830.
- Li, X.; Ge, L.; Dong, Y. and Chang, H.C. (2010). Estimating the greatest dust storm in eastern Australia with MODIS satellite images. In *Geoscience and Remote Sensing Symposium (IGARSS)*, 2010 IEEE International (pp. 1039-1042). IEEE.
- Liu, Y. and Liu, R. (2011). A thermal index from MODIS data for dust detection. In *Geoscience and Remote Sensing Symposium (IGARSS)*, 2011 IEEE International (pp. 3783-3786). IEEE.
- Mesbahi, H. (2013). A unified approach Water Resources Modeling to Challenges and Solutions in the Watershed Basin Hamoun Jazmourian Using MODSIM with the Purpose of Unified Approach, *The Fifth Conference on Water Resources Management*, Tehran.
- Miller, S.D. (2003). A consolidated technique for enhancing desert dust storms with MODIS, *Geophysical Research Letters*, 30(20).
- Moulin, C.; Lambert, C.E.; Dayan, U.; Masson, V.; Ramonet, M.; Bousquet, P. ... and Bergametti, G. (1998). Satellite climatology of African dust transport in the Mediterranean atmosphere, *Journal of Geophysical Research: Atmospheres*, 103(D11): 13137-13144.
- Pineda-Martinez, L.F.; Carbajal, N.; Campos-Ramos, A.A.; Noyola-Medrano, C. and Aragón-Piña, A. (2011). Numerical research of extreme wind-induced dust transport in a semi-arid human-impacted region of Mexico, *Atmospheric environment*, 45(27): 4652-4660.
- Qu, J.J.; Hao, X.; Kafatos, M. and Wang, L. (2006). Asian dust storm monitoring combining Terra and Aqua MODIS SRB measurements, *IEEE Geoscience and Remote Sensing Letters*, 3(4): 484-486.
- Rashki, A.; Arjmand, M. and Kaskaoutis, D.G. (2017). Assessment of dust activity and dust-plume pathways over Jazmurian Basin, southeast Iran, *Aeolian Research*, 24: 145-160.
- Reidmiller, D.R.; Hobbs, P.V. and Kahn, R. (2006). Aerosol optical properties and particle size distributions on the east coast of the United States derived from airborne in situ and remote sensing measurements, *Journal of the atmospheric sciences*, 63(3): 785-814.
- Riehl, H. (1961). *Jet streams of the atmosphere*, US Government Printing Office.
- Rolph, G.; Stein, A. and Stunder, B. (2017). Real-time environmental applications and display system: Ready, *Environmental Modelling & Software*, 95: 210-228.
- Shamshiri, S.; Jafari, R.; Soltani, S. and Ramazani, N. (2014). Dust detection and mapping in Kermanshah province using satellite imagery of Modis, *Iranian Journal of Applied Ecology*, 3(8).
- Shao, Y. and Dong, C.H. (2006). A review on East Asian dust storm climate, modelling and monitoring, *Global and Planetary Change*, 52(1): 1-22.
- Stunder, B.J. (1997). NCEP model output-FNL archive data: TD-6141. Prepared for National Climatic Data Center (NCDC). Technical report, NOAA Air Resources Laboratory, Silver Spring, MD. This document and archive grid domain maps are also available at <http://www.arl.noaa.gov/ss/transport/archives.html>.
- Tian, J. and Chen, D. (2010). Spectral, spatial, and temporal sensitivity of correlating MODIS aerosol optical depth with ground-based fine particulate matter (PM_{2.5}) across southern Ontario, *Canadian Journal of Remote Sensing*, 36(2): 119-128.

- Wang, J. and Christopher, S.A. (2003). Intercomparison between satellite-derived aerosol optical thickness and PM_{2.5} mass: implications for air quality studies, *Geophysical research letters*, 30(21).
- Li, X., Ge, L., Dong, Y., & Chang, H. C. (2010, July). Estimating the greatest dust storm in eastern Australia with MODIS satellite images. In *Geoscience and Remote Sensing Symposium (IGARSS), 2010 IEEE International* (pp. 1039-1042). IEEE.
- Xie, Y. (2009). *Detection of smoke and dust aerosols using multi-sensor satellite remote sensing measurements*, George Mason University.
- Zhang, L.; Cao, X.; Bao, J.; Zhou, B.; Huang, J.; Shi, J. and Bi, J. (2010). A case study of dust aerosol radiative properties over Lanzhou, China. *Atmospheric Chemistry and Physics*, 10(9): 4283-4293.
- Zhao, C., Chen, S., Leung, L. R., Qian, Y., Kok, J., Zaveri, R., & Huang, J. (2013). Uncertainty in modeling dust mass balance and radiative forcing from size parameterization. *Atmospheric Chemistry & Physics Discussions*, 13(7).
- Zhao, T.X.P.; Ackerman, S. and Guo, W. (2010). Dust and smoke detection for multi-channel imagers, *Remote Sensing*, 2(10): 2347-2368.